

Offline Bewegungsplanung: Reine Translation

Elmar Langetepe
University of Bonn

Folgerungen!! Theorem 2.16

- Konvexer Roboter R mit $|R| = m$, polygonale Szene, n Kanten
- Komplexität von C_{verb} in $O(mn)$, Beweis!!
- Trianguliere alle P_j , T_1, T_2, \dots, T_l mit $O(n)$ Kanten
- $CT_i = T_i \oplus -R(0, 0)$ Familie von Pseudokreisen Lem. 2.12, $O((m + 3)n)$ Kanten Lem. 2.15

$$C_{\text{verb}} = \underbrace{\bigcup_i T_i \oplus -R(0, 0)}_{\text{Komplexität } O(mn)}.$$

Benutze Theorem 2.13

Folgerungen!! Theorem 2.16

- Algorithmus 2.2: Berechnung von C_{verb} ■
 - Unterteile Hindernisse in gleichgroße Teilmengen von Dreiecken CP_1 und CP_2 ■
 - Berechne rek. $C_{\text{verb}}(CP_1)$ und $C_{\text{verb}}(CP_2)$, je $O(mn)$ Kanten ■
 - Berechne Vereinigung $C_{\text{verb}}(CP_1) \cup C_{\text{verb}}(CP_2)$ in Zeit $O(mn \log(mn))$ mit Sweep (Alg. Geom.) ■

Laufzeit insgesamt: $O(mn \log^2 mn)$ ■

Laufzeitanalyse: Theorem 2.16

Arrangement mit $O(nm)$ Kanten!!

$$T(m, n) \leq 2T\left(m, \frac{n}{2}\right) \text{ (Rek.)} + C \times mn \log mn \text{ (Merge)}$$

$$\leq 2\left(2T\left(m, \frac{n}{4}\right) + C\frac{mn}{2} \log \frac{mn}{2}\right) + C \times mn \log mn$$

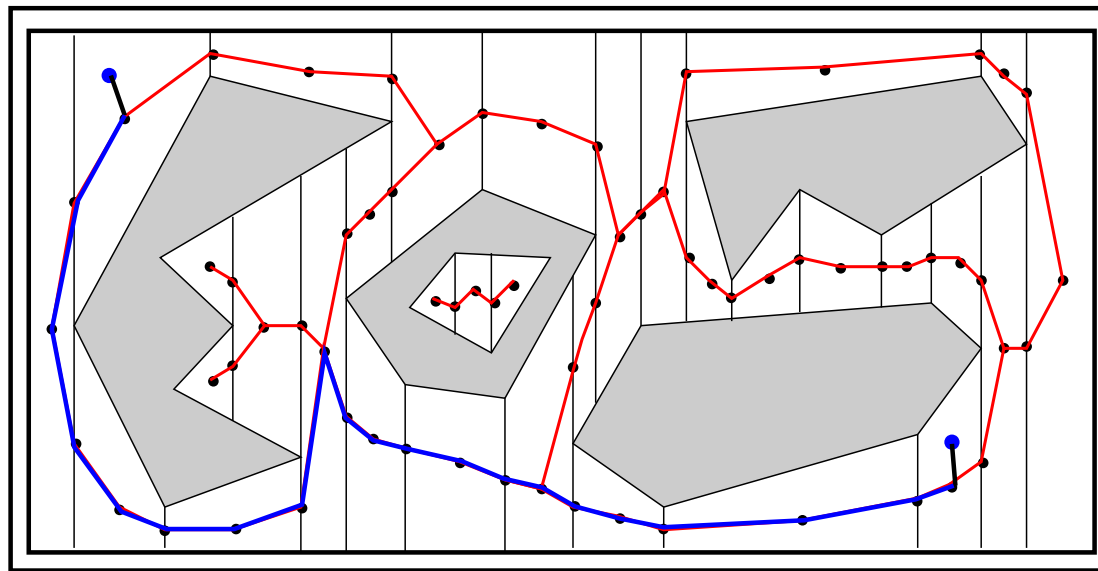
$$\vdots$$

$$\leq nT(m, 1) + Cmn \sum_{i=0}^{\log n} \log \frac{mn}{2^i}$$

$$\in O(mn \log^2 mn)$$

C_{frei} verwenden! Roadmap!!

- Zerlegung in Trapezen (Seidel) ■
- ● Benachbarte Trapeze verbinden (Schwerpunkt/Mittelpunkt) ■
- Zusammenhangsgraph, Roadmap ■
- Lokalisation s und t und verbinden (BFS) ■



Algorithmus 2.3: C_{frei} gegeben!

Vorbereitung: ■



- Trapezzerlegung C_{frei} /Point–Location Struktur, (randomisiert!!) $O(mn \log(mn))$ ■
- Roadmap-Konstruktion: Verbindung adjazenter Trapeze, $O(mn)$

Query: ■

- Lokalisierere s und t Trapeze, $O(\log(mn))$ ■
- Finde Weg der Trapeze mit BFS, $O(mn)$ ■

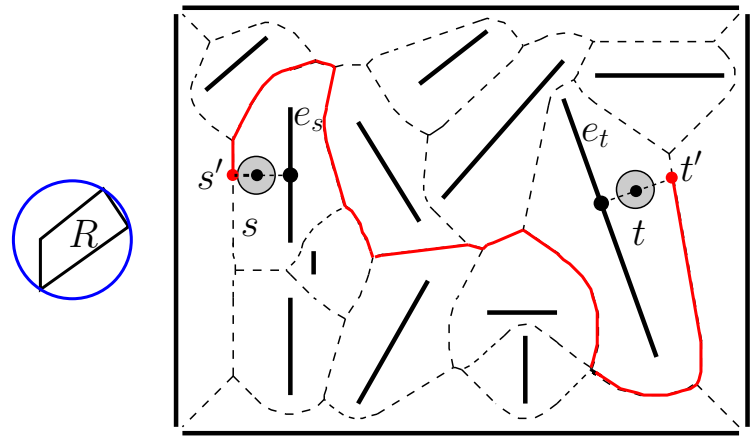
Roadmap!! Einfach aber effizient!! ■ Probabilistisch! ■

Ergebnis: **Theorem 2.17**

Translationsbewegungen eines konvexen, polygonalen Roboters mit m Ecken in einer Umgebung mit polygonalen Hindernissen mit insgesamt n Ecken können nach $O(mn \log^2(mn))$ (randomisierter) Vorbereitungszeit in Zeit $O(mn)$ geplant werden.■

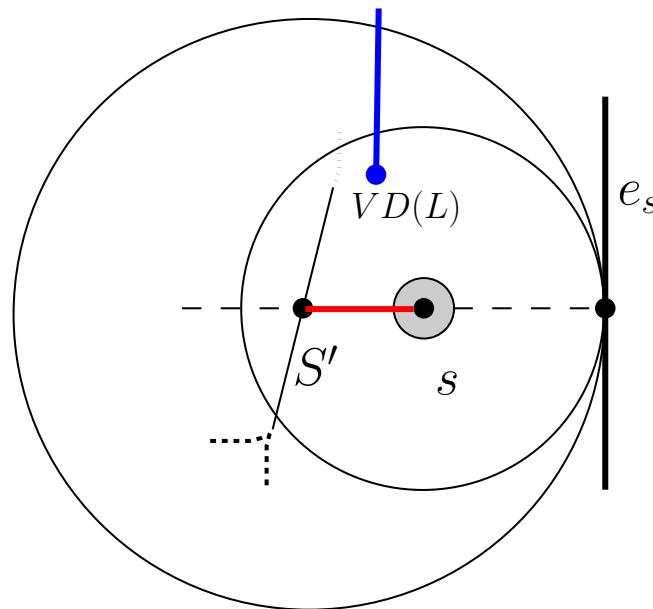
Kreisförmiger! Voronoi Diagramme 2.1.1

- Verwende kleinsten Kreis um Roboter ■
- Voronoi Diagramm der Segmente der Hindernisse ■
- Weg auf Bisektoren: ■ Möglichst großer Abstand ■



Start s' kann stets angelaufen werden

- s in Region von e_s , Kreis frei
- Kürzester Weg zu e_s , Strahl Richtung Bisector
- Trifft Bisector bei s' , Weg ist frei!!



Algorithmus 2.1: Kreisförmiger Roboter

Vorbereitung: ■



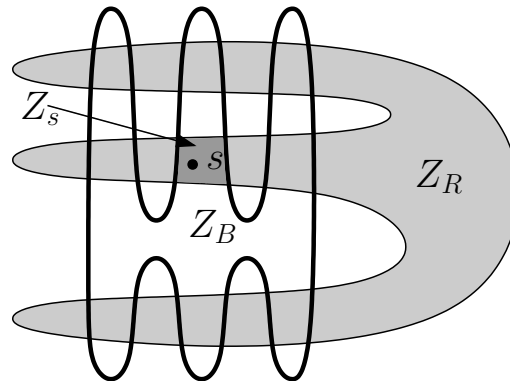
- Konstruiere das Voronoi–Diagramm $VD(L)$, Kanten der Hindernisse als Liniensegmente: $O(n \log n)$ ■
- Point–Location Trapezzerlegung: $O(n \log n)$ ■

Query für zwei Punkte s, t : ■

- Lokalisierere s, t im VD: $O(\log n)$ ■
- s gehört zu e_s , t gehört zu e_t ■
- Bestimme mit Strahlen Punkt t' und s' auf $VD(L)$: $O(1)$ ■
- Berechne (BFS) in $VD(L)$ Pfad von s' nach t' mit zul. Mindestabstand oder berichte, dass es keinen gibt: $O(n)$ ■

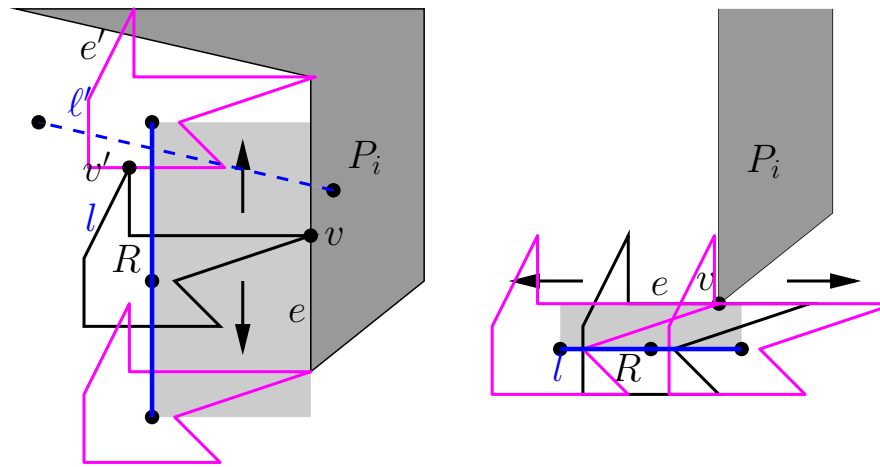
Kreisförmig, konvex! Beliebiger Roboter!

- Bisher: Divide and Conquer Konfigurationsraum
- Nicht konvex: Komplexität $\Theta((nm)^2)$
- Merge komplett: $\Theta((nm)^2)$
- Beobachtung: Zelle Z_s nicht so komplex??



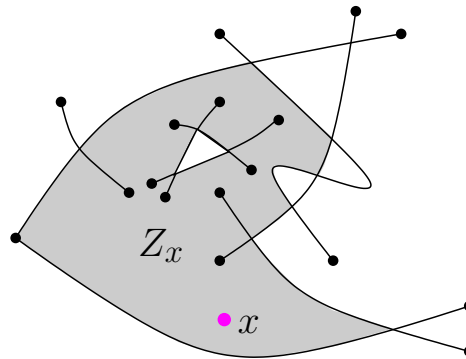
Begrenzung einer Zelle!!

- Nicht-konvexer Roboter R mit $|R| = m$. Polygonale Szene n Ecken
- Ecke Roboter, Kante Hindernis
- Ecke Hindernis, Kante Roboter
- $\Theta(mn)$ viele Kanten



Allgemeiner!!

- Menge von Segmenten
- Je zwei schneiden sich s mal
- Spezieller Punkt x
- Komplexität der Zelle Z_x



Fahrplan!!

- Divide and Conquer!!
- Teile Segmente in zwei gleichgroße Mengen Z_1, Z_2
- Berechne Z_{1x} und Z_{2x}
- Merge zu $\{Z_1 \cup Z_2\}_x$
- Spezieller Merge wegen Schnitt mit x
- RED BLUE Merge
- Merge: Komplexität des Ergebnisses

Exkurs: Davenport-Schinzel-Sequenzen

Alphabet $\Sigma = \{A, B, C, \dots\}$ über n Buchstaben.■

■ Davenport–Schinzel–Sequenz der Ordnung s ■

- Wort w über Σ ■
- in w keine benachbarten Buchstaben gleich■
- keine zwei verschiedenen Buchstaben wechseln mehr als s mal ■

Bsp.: ABRAKADABRA; ■ max. 4 Wechsel (A und B) ■

$\lambda_s(n)$ maximale Länge eines solchen Wortes■

Davenport-Schinzel-Sequenzen: Th. A9

Fast linear!! (Ohne Beweis!)

■

$$\lambda_1(n) = n$$

$$\lambda_2(n) = 2n - 1$$

$$\lambda_3(n) \in \Theta(n \alpha(n))$$

$$\lambda_4(n) \in \Theta(n \cdot 2^{\alpha(n)})$$

$$\lambda_s(n) \in O(n \log^*(n)) \in O(n^2)$$

■

$\alpha(n)$ Inverse Ackermann Fkt. ■

$\log^*(n)$ ■

Untere Kontur: Def. A10

f_1, f_2, \dots, f_n reellwertige Funktionen, entweder

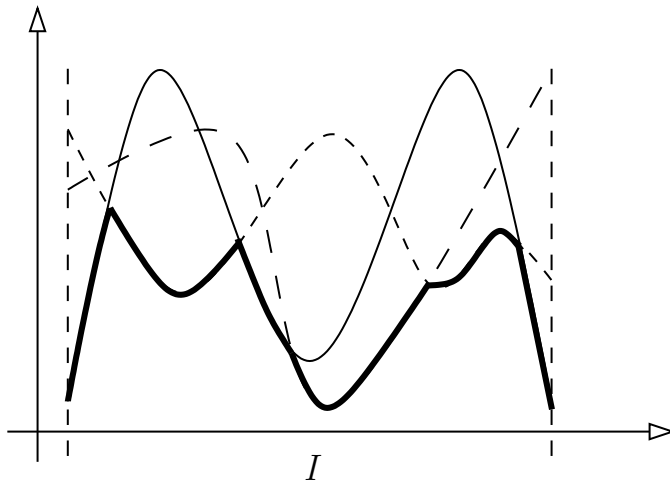
- über einem gemeinsamen Intervall I oder
- über je einem Intervall $I_j \subseteq I, 1 \leq j \leq n$.

Je zwei Funktionen max. s gemeinsame Schnittpunkte

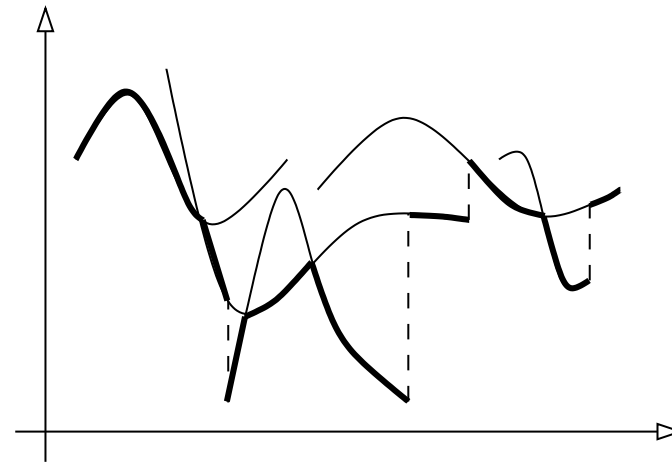
$$L(x) := \min \{ f_i(x) \mid 1 \leq i \leq n \}$$

Lower envelope der Funktionsgraphen

Untere Kontur: Th. A12



(1)



(2)

$L(x)$ besteht aus maximal

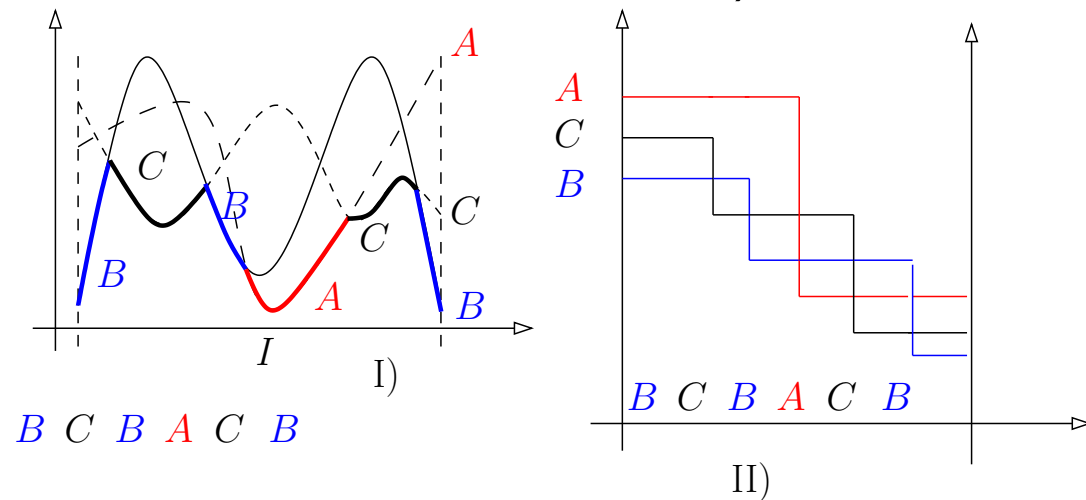
1. $\lambda_s(n)$
2. $\lambda_{s+2}(n)$

vielen Teilstücken ■

Beweis: Th. A12

1. $\lambda_s(n)$
2. $\lambda_{s+2}(n)$

1.: I) Übersetzen in Buchst.-folge oder II) Buchst.-folge übersetzen



Beweis: Th. A12

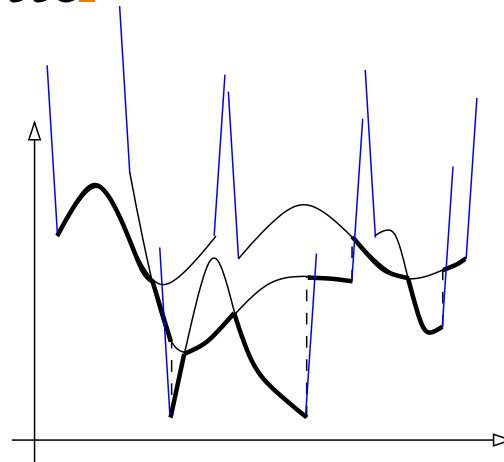
1. $\lambda_s(n)$

2. $\lambda_{s+2}(n)$



2. Verlängern auf gesamtes Intervall, dann 1. verwenden

Max zwei zusätzliche Schnitte



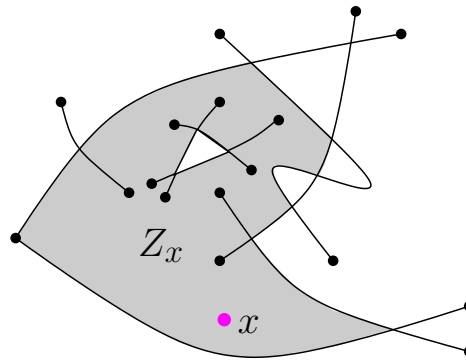
(2)



Zellen: Th. 2.18

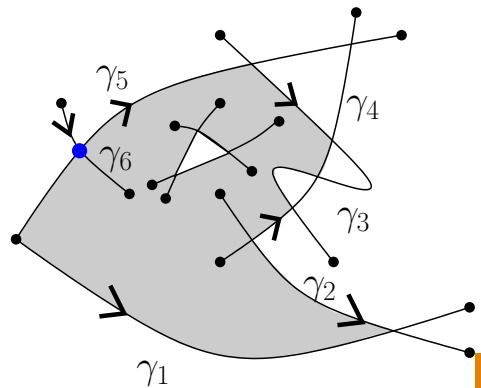
A Arrangement von n Kurvenstücken von denen sich zwei nur s mal schneiden. Jede Zelle von A hat Komplexität $O(\lambda_{s+2}(n))$. ■

Weniger als $\Omega(n^2)$!! ■ Beweis!! ■



Beweis: Th. 2.18

- Rand zerfällt in mehrere Zyklen
- Analyse: Äußerer Zyklus C reicht! $\lambda_s(n)$, n Segmente
- Bezeichnen, orientieren: links nach rechts
- Zyklische Abfolge
 $S = \langle \gamma_5^- \gamma_1^+ \gamma_2^- \gamma_4^- \gamma_4^+ \gamma_2^- \gamma_2^+ \gamma_4^+ \gamma_3^- \gamma_4^+ \gamma_3^- \gamma_5^- \gamma_6^+ \gamma_6^- \rangle$
- $2n$ Segmente γ_i^-, γ_i^+

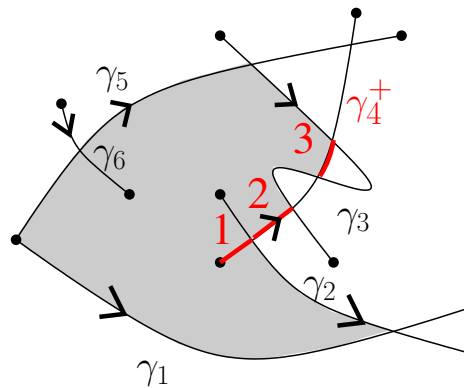


Bogenteile in Reihenfolge! **Lem. 2.19**

- Zyklische *Folge* des Zyklus C :

■ $S = \langle \gamma_5^- \gamma_1^+ \gamma_2^- \gamma_4^- \gamma_4^+ \gamma_2^- \gamma_2^+ \gamma_4^+ \gamma_3^- \gamma_4^+ \gamma_3^- \gamma_5^- \gamma_6^+ \gamma_6^- \rangle$ ■

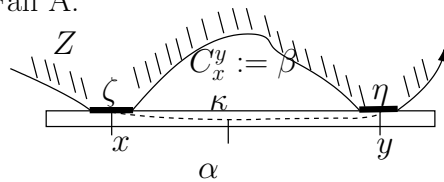
- Bogen γ_i : ■ Segmente von γ_i^+ (γ_i^-) erscheinen in C in derselben Reihenfolge wie entlang von γ_i^+ (γ_i^-) ■
- Beispiel γ_4^+ ! ■ Beweis! ■



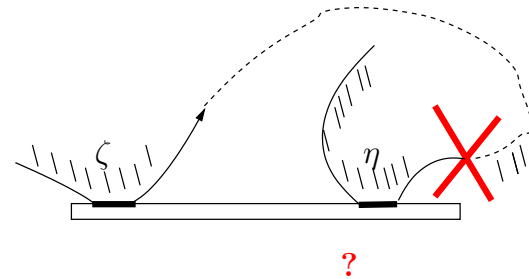
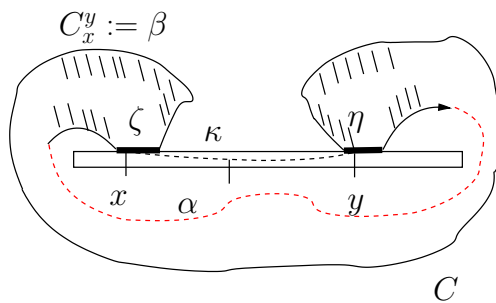
Beweis: Konsistenzlemma 2.19

- γ_i etwas aufblasen; $\zeta, \eta \in \gamma_i^*$ konsekutive Subsegmente in C !
- Nur zwei Fälle gemäß Innerem; sonst keine Verbindung!!
- Betrachte α und $\beta := C_x^y$
- β berührt γ_i^* nicht: Konsekutiv in C !
- C schnittfrei: $\alpha \cup \beta$ trennt κ von C ab!

Fall A:



Fall B:



Lineare Sequenz S'' bilden!

- Zyklische Sequenz:

■ $S = \langle \gamma_5^- \gamma_1^+ \gamma_2^- \gamma_4^- \gamma_4^+ \gamma_2^- \gamma_2^+ \gamma_4^+ \gamma_3^- \gamma_4^+ \gamma_3^- \gamma_5^- \gamma_6^+ \gamma_6^- \rangle$ auftrennen ■

- Orientierte Sequenz:

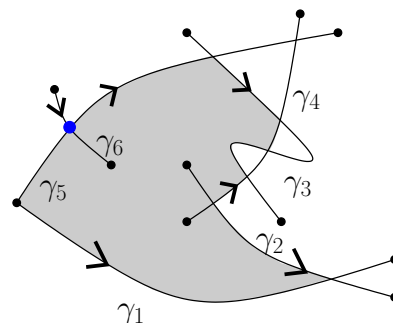
$S' = \{ \gamma_5^- \gamma_1^+ \gamma_2^- \gamma_4^- \gamma_4^+ \gamma_2^- \gamma_2^+ \gamma_4^+ \gamma_3^- \gamma_4^+ \gamma_3^- \gamma_5^- \gamma_6^+ \gamma_6^- \}$ ■

- Orientierte Reihenfolge stimmt nicht! Bsp.: γ_5^- ■

- Verdoppeln: $\gamma_i^- (\gamma_i^+) \Rightarrow \gamma_{i,1}^-, \gamma_{i,2}^- (\gamma_{i,1}^+, \gamma_{i,2}^+)$ ■

- Nun $4n$ Segmente: Sequenz

$S'' = \{ \gamma_{5,1}^- \gamma_1^+ \gamma_2^- \gamma_4^- \gamma_4^+ \gamma_2^- \gamma_2^+ \gamma_4^+ \gamma_3^- \gamma_4^+ \gamma_3^- \gamma_{5,2}^- \gamma_6^+ \gamma_6^- \}$ ■



S'' DSS mit $(4n, s + 2)$: **Lem. 2.20**

- Definition DSS■
- Zwischen zwei $\gamma_{i,j}^-$ ($\gamma_{i,j}^+$) kommt stets anderes Segment vor■
- Zz.: Zwei Buchstaben ζ und η wechseln nicht mehr als $s + 2$ mal■
- Widerspruchsbeweis: Annahme $s + 3$ Wechsel!■
- Situation:
$$S'' = (\cdots \zeta_1 \cdots \eta_1 \cdots \zeta_2 \cdots \eta_2 \cdots \cdots \zeta_j \cdots \eta_j \cdots \zeta_k \cdots (\eta_k \cdots))$$
■

Lem. 2.20

$$S'' = (\cdots \zeta_1 \cdots \eta_1 \cdots \zeta_2 \cdots \eta_2 \cdots \cdots \zeta_j \cdots \eta_j \cdots \zeta_k \cdots (\eta_k \cdots)) \blacksquare$$

■ Fasse je vier zusammen:

$$\begin{aligned} & (\zeta_1, \eta_1, \zeta_2, \eta_2) \\ & \quad (\eta_1, \zeta_2, \eta_2, \zeta_3) \\ & \quad \quad (\zeta_2, \eta_2, \zeta_3, \eta_3) \\ & \quad \quad \quad \vdots \end{aligned}$$

■ Jeweils Schnitt zw. $((\zeta_1, \zeta_2), (\eta_1, \eta_2)), ((\eta_1, \eta_2), (\zeta_2, \zeta_3)), \dots \blacksquare$

$s + 3$ ungerade: η_k ex. und $k = \frac{s+2}{2} + 1$ Induktion!! ■

$((s + 3)$ gerade Übung!) ■

Lem. 2.20

$s + 3$ ungerade: η_k ex. und $k = \frac{s+2}{2} + 1$ Induktion!!!

$$\begin{aligned} & (\zeta_1, \eta_1, \zeta_2, \eta_2) \\ & \quad (\eta_1, \zeta_2, \eta_2, \zeta_3) \\ & \quad \quad \quad \vdots \\ & \quad \quad \quad (\zeta_{\frac{s+2}{2}}, \eta_{\frac{s+2}{2}}, \zeta_{\frac{s+2}{2}+1}, \eta_{\frac{s+2}{2}+1}) \end{aligned}$$

ζ führt $\frac{s+2}{2}$ Quadrupel an! η führt $\frac{s+2}{2} - 1$ Quadrupel an!

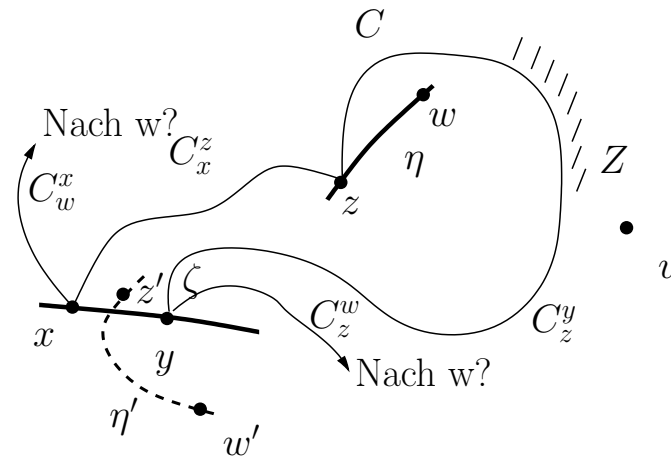
Insgesamt: $2 \cdot \left(\frac{s+2}{2}\right) - 1 = s + 1$ Quadrupel

Noch zu zeigen: Jedes Quadrupel erzeugt Schnitt!

Lem. 2.20

Zu zeigen: O.B.d.A: $(\zeta_i, \eta_i, \zeta_{i+1}, \eta_{i+1})$ erzeugt einzelnen Schnitt zw.
 (ζ_i, ζ_{i+1}) und (η_i, η_{i+1}) ■

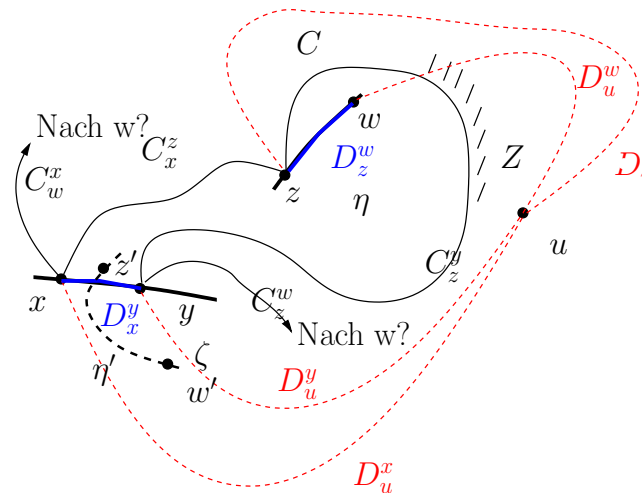
Situation wie folgt:■



Zeige, dass Schnitt existieren muss!■

Situation: u im Innern!

- u sieht x, z, y, w ■
- Verb. $D_u^x, D_u^z, D_u^y, D_u^w$ schnittfrei mit $C_x^z, C_z^y, C_y^w, C_w^x$
- Annahme: D_x^y und D_z^w schnittfrei \Rightarrow alle schnittfrei!! ■
- Entspricht: $K5$ in der Ebene schnittfrei realisiert! Widerspruch!! ■



Konklusion: **Lem. 2.20**

- n Bögen, je s Schnitte: **Zeige: DSS mit $(4n, s + 2)$**
- **Annahme: DSS mit mind. $(4n, s + 3)$**
- $(s + 3)$ Wechsel auf ζ und η , **sukzessive**
- Bei jedem Quadrupel $(\zeta_i, \eta_i, \zeta_{i+1}, \eta_{i+1})$ (oder $(\eta_i, \zeta_{i+1}, \eta_{i+1}, \zeta_{i+2})$):
Schnitt zwischen (ζ_i, ζ_{i+1}) und (η_i, η_{i+1})
- $s + 1$ Quadrupel $\Rightarrow s + 1$ Schnitte, **Widerspruch!!**
- **DSS mit $(4n, s + 2)$**

Zurück zur Aufgabe: Konfigurationsraum

- n Bögen
- Je zwei schneiden sich s mal
- X-monoton, eventuell erzeugen
- Startpunkt x
- Komplexität der Zelle $Z_x: \lambda_{s+2}(4n)$
- Divide and Conquer Ansatz sinnvoll

Alg. 2.4: Zelle Z_x !

Gegeben: Punkt x , n X -monotone Bögen.■

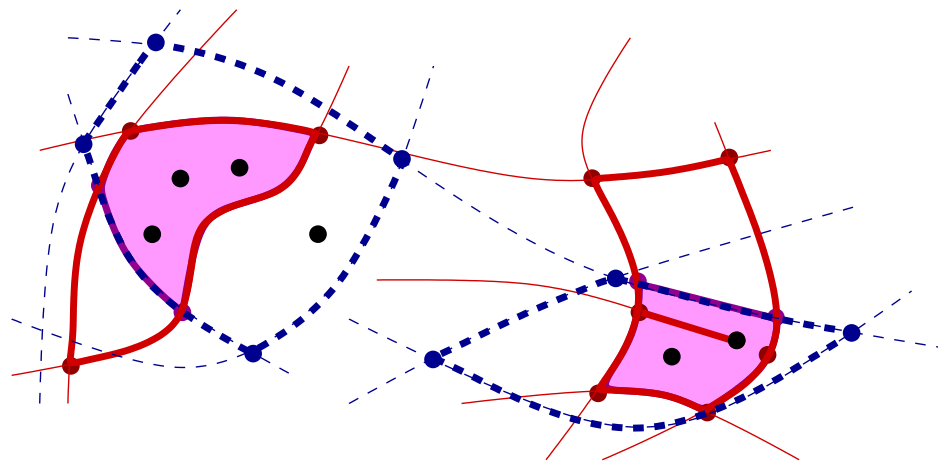
Gesucht: Zelle Z_x im Arrangement der Bögen, die x enthält.■

- Zerlege Menge der Bögen in gleichgroße Teilmengen R und B .■
- Berechne rek. im Arrangement $A(R)$ Zelle $Z(R)_x$, die x enthält.■
- Berechne rek. im Arrangement $A(B)$ Zelle $Z(B)_x$, die x enthält.■
- Berechne Zusammenhangskomponente Z_x von $Z(R)_x \cap Z(B)_x$, die x enthält und berichte diese! **RED-BLUE Merge**■

Zuerst **RED-BLUE Merge** betrachten, dann zurück!■

Allgemeiner RED-BLUE Merge

- Rotes Arrangement R mit Zellen R_1, \dots, R_{m_R} , r Ecken.■
- Blaues Arrangement B mit Zellen B_1, \dots, B_{m_B} , b Ecken.■
- Punktmenge p_i $i = 1, \dots, k$ ■
- Schnitzzellen $Z_j = R_{\mu_j} \cap B_{\nu_j}$, $j = 1, \dots, l$, die mind. ein p_i enthalten■



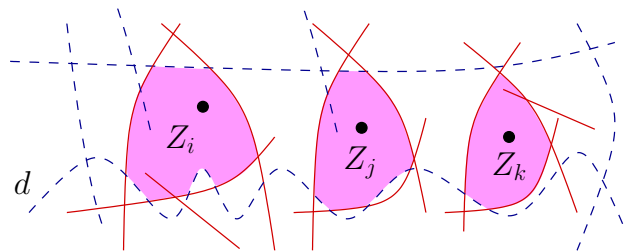
Komplexität der Schnittzellen: **Lem. 2.21**

Kombinationslemma: Guibas, Sharir, Sifrony 1989 (DSS *Bibel*)

Komplexität der Zellen Z_1, \dots, Z_ℓ , $\ell \leq k$:

$$|Z_1| + |Z_2| + \dots + |Z_\ell| \in O(r + b + k)$$

Nicht trivial:



Zur Analyse der Berechnung verwenden!!!